

УДК 532.529

doi 10.26089/NumMet.v20r214

## СРАВНЕНИЕ МОДИФИЦИРОВАННОГО МЕТОДА КРУПНЫХ ЧАСТИЦ С НЕКОТОРЫМИ СХЕМАМИ ВЫСОКОЙ РАЗРЕШАЮЩЕЙ СПОСОБНОСТИ. ОДНОМЕРНЫЕ ТЕСТЫ

Д. В. Садин<sup>1</sup>, В. А. Давидчук<sup>2</sup>

Проведен сравнительный анализ вычислительных свойств модифицированного метода крупных частиц на примере одномерных тестовых задач газовой динамики в широком диапазоне параметров течения. Численные результаты сопоставлены с автомоделными решениями и данными, полученными по схемам высокой разрешающей способности от второго до шестого порядков аппроксимации. Представленная схема продемонстрировала вычислительную эффективность и конкурентоспособность.

**Ключевые слова:** метод крупных частиц, высокая разрешающая способность, тестовые задачи, вычислительные свойства.

**1. Введение.** В настоящее время численное моделирование является одним из основных инструментов при создании и совершенствовании технологий, оптимизации параметров технических устройств в аэродинамике, газодинамике струйных течений, ударно-волновых явлениях и др. Практические приложения предъявляют ряд требований к численным методам. К ним относятся надежность и универсальность численного метода и возможность его применения при решении задач с широким диапазоном изменения термогазодинамических параметров. Качество схемы включает в себя ее разрешающую способность, точность, устойчивость, робастность, скорость сходимости, однородность алгоритма, простоту метода и другие свойства. Третья группа требований связана с ресурсоемкостью (необходимые объемы памяти, возможность распараллеливания и временные затраты) при реализации алгоритма на ЭВМ.

Современные численные схемы высокой разрешающей способности используют разнообразные подходы, основанные на точном и приближенном решении задачи распада разрыва (типа Годунова) [1], алгоритмах с уменьшением полной вариации решения (TVD — Total Variation Diminishing) [2], взвешенно существенно неосциллирующих схемах (WENO — Weighted Essentially Non-Oscillatory) [3], разрывном методе Галеркина [4], компактных схемах [5], балансно-характеристическом алгоритме КАБАРЕ [6], методах с адаптивной искусственной вязкостью [7] и др. Не претендуя на обзор вычислительных технологий, подробно изложенных в том числе в работах [8, 9], ограничимся рассмотрением модифицированного метода крупных частиц в сравнении с некоторыми схемами высокой разрешающей способности.

В работах [10, 11] изложена модификация метода крупных частиц с нелинейной коррекцией искусственной вязкости типа Христенсена [12] на первом (лагранжевом) этапе и противопоточной реконструкцией потоков [9] второго порядка на втором (эйлеровом и заключительном) этапе. В развитие метода крупных частиц предложена схема с настраиваемыми диссипативными свойствами (Customizable Dissipative Properties — CDP2) второго порядка по пространству и времени с взвешенной линейной комбинацией центральных и противопоточных разностей, дополненной TVD-алгоритмом Рунге–Кутты (Total variation diminishing Runge–Kutta scheme) [13].

Целью настоящей статьи является анализ вычислительных свойств модифицированного метода крупных частиц CDP2 [13] на примере ряда одномерных тестовых задач в сравнении с автомоделными решениями и численными результатами, полученными по другим схемам высокой разрешающей способности.

**2. Основные уравнения.** Рассмотрим динамику калорически совершенного невязкого газа в рамках уравнений Эйлера

$$\frac{\partial \mathbf{q}}{\partial t} + \frac{\partial \mathbf{G}}{\partial x} + \frac{\partial \mathbf{F}}{\partial x} = 0, \quad \mathbf{q} = [\rho, \rho v, \rho E]^T, \quad \mathbf{G} = [\rho v, \rho v^2, \rho E v]^T, \quad \mathbf{F} = [0, 0, p, p v]^T, \quad (1)$$

где  $\rho, v, p, E$  — плотность, скорость, давление, полная энергия газа;  $\mathbf{q}, \mathbf{G}, \mathbf{F}$  — консервативные, потоковые, градиентные и деформационные величины;  $t$  — время;  $x$  — координата.

<sup>1</sup> Военно-космическая академия им. А. Ф. Можайского, ул. Ждановская, д. 13, 197198, Санкт-Петербург; профессор, e-mail: sadin@yandex.ru

<sup>2</sup> Военно-космическая академия им. А. Ф. Можайского, ул. Ждановская, д. 13, 197198, Санкт-Петербург; адъюнкт, e-mail: david\_lxii@mail.ru

Замыкающее уравнение состояния имеет вид  $p = (\gamma - 1)\rho(E - v^2/2)$ , где  $\gamma$  — показатель адиабаты.

**3. Численный алгоритм.** Опишем численный алгоритм в соответствии с основными положениями метода крупных частиц с расщеплением уравнений (1) по физическим процессам на лагранжевы, эйлеровы и заключительный этапы. Приведем схему к виду для плоского одномерного случая. Дискретизацию будем проводить на равномерной сетке с шагом  $h$  в конечно-объемной реализации, при которой консервативные величины  $\mathbf{q}$  относятся к центрам контрольных объемов (ячеек)  $x_n$ , где  $n = 1, 2, \dots, N$ . Поточковые величины  $\mathbf{G}$ , градиентные и деформационные слагаемые  $\mathbf{F}$  уравнений (1) определяются на границах ячеек  $x_{n\pm 1/2}$ . Временной слой будем помечать верхним индексом  $k = 1, 2, \dots, K$ , а шаг по времени обозначим  $\tau$ .

Первый (лагранжевы) этап. Вычисляются предварительные значения искомых функций с использованием центральных разностей градиентных величин на границах ячеек:

$$\begin{aligned} \mathbf{q}_n^{(1)} &= \mathbf{q}_n^k - \left( \tilde{\mathbf{F}}_{n+1/2}^k - \tilde{\mathbf{F}}_{n-1/2}^k \right) \frac{\tau}{h}; \\ \tilde{\mathbf{F}}_{n\pm 1/2}^k &= \left[ 0, \tilde{p}_{n\pm 1/2}^k, \tilde{p}_{n\pm 1/2}^k v_{n\pm 1/2}^k \right]^T; \\ \tilde{p}_{n\pm 1/2}^k &= p_{n\pm 1/2}^k + [1 - \psi_v(r_{n\pm 1/2})] Q_{n\pm 1/2}^k; \\ r_{n+1/2} &= \begin{cases} \frac{v_{1,n}^k - v_{1,n-1}^k}{v_{1,n+1}^k - v_{1,n}^k}, & \text{если } (v_{1,n+1}^k - v_{1,n}^k)(p_{n+1}^k - p_n^k) \geq 0; \\ \frac{v_{1,n+2}^k - v_{1,n+1}^k}{v_{1,n+1}^k - v_{1,n}^k}, & \text{иначе;} \end{cases} \\ Q_{n+1/2}^k &= -B_v \sqrt{\gamma p_{n+1/2}^k \rho_{n+1/2}^k} (v_{n+1}^k - v_n^k). \end{aligned} \tag{2}$$

Здесь  $B_v$  — коэффициент искусственной вязкости.

Для регуляризации численного решения применяется искусственная вязкость  $Q_{n\pm 1/2}^k$  с ограничителем вязкости  $\psi_v(r_{n\pm 1/2})$  [11–13], которая не понижает порядок аппроксимации на гладких решениях  $O(h^2)$ . А именно, на гладких решениях при  $r \rightarrow 1$  ограничитель вязкости  $\psi_v(r) \rightarrow 1$ ; следовательно, искусственная вязкость  $[1 - \psi_v(r_{n\pm 1/2})] Q_{n\pm 1/2}^k \rightarrow 0$ .

Второй (эйлеровы и заключительный) этап. Определяются окончательные значения искомых переменных с точностью  $O(\tau + h^2)$  на гладких решениях:

$$\begin{aligned} \rho_i^{(2)} &= \rho_i^{(1)} + \left( \widehat{M}_{i,n-1/2}^{(1)} - \widehat{M}_{i,n+1/2}^{(1)} \right) / h, \\ \widehat{M}_{i,n\pm 1/2}^{(1)} &= \widehat{\rho}_{i,n\pm 1/2}^{(1)} v_{i,n\pm 1/2}^{(1)} \tau, \\ v_n^{(2)} &= \left[ \rho_n^{(1)} v_n^{(1)} + \left( \widehat{v}_{n-1/2}^{(1)} \widehat{M}_{n-1/2}^{(1)} - \widehat{v}_{n+1/2}^{(1)} \widehat{M}_{n+1/2}^{(1)} \right) \frac{1}{h} \right] \frac{1}{\rho_n^{k+1}}, \\ E_n^{(2)} &= \left[ \rho_n^{(1)} E_n^{(1)} + \left( \widehat{E}_{n-1/2}^{(1)} \widehat{M}_{n-1/2}^{(1)} - \widehat{E}_{n+1/2}^{(1)} \widehat{M}_{n+1/2}^{(1)} \right) \frac{1}{h} \right] \frac{1}{\rho_n^{k+1}}. \end{aligned} \tag{3}$$

Поточковые величины, помеченные символом  $\widehat{\phantom{x}}$ , получены путем взвешенной ограничителем  $\psi_v(r_{n\pm 1/2})$  линейной комбинации противопоточной и центральной аппроксимаций функций  $\varphi = \{\rho, v, E\}$  [13]:

$$\begin{aligned} \widehat{\varphi}_{n+1/2}^{(1)} &= \begin{cases} \varphi_{n+1/2}^+, & \text{если } v_{n+1/2}^{(1)} \geq 0; \\ \varphi_{n+1/2}^-, & \text{иначе;} \end{cases} \\ \varphi_{n+1/2}^+ &= \left[ \left( 1 - \psi_f(r_{n+1/2}^+) \right) \varphi_n^{(1)} + \psi_f(r_{n+1/2}^+) \varphi_{n+1/2}^{(1)} \right]; \\ \varphi_{n+1/2}^- &= \left[ \left( 1 - \psi_f(r_{n+1/2}^-) \right) \varphi_{n+1}^{(1)} + \psi_f(r_{n+1/2}^-) \varphi_{n+1/2}^{(1)} \right]; \\ r_{n+1/2}^+ &= \frac{\varphi_n^{(1)} - \varphi_{n-1}^{(1)}}{\varphi_{n+1}^{(1)} - \varphi_n^{(1)}}, \quad r_{n+1/2}^- = \frac{\varphi_{n+2}^{(1)} - \varphi_{n+1}^{(1)}}{\varphi_{n+1}^{(1)} - \varphi_n^{(1)}}. \end{aligned} \tag{4}$$

В качестве ограничителей вязкости  $\psi_v$  и потоков  $\psi_f$  в настоящей работе использованы

$$\psi(r) = \begin{cases} 0, & \text{метод крупных частиц;} \\ \max [0, \min (1, r)], & \text{MINMOD (MM);} \\ \frac{r^2 + r}{1 + r}, & \text{VAN ALBADA (VA);} \\ \frac{r + |r|}{1 + r}, & \text{VAN LEER (VL).} \end{cases} \quad (5)$$

Далее на лагранжевом этапе (2) берется ограничитель вязкости Van Leer, а коэффициент искусственной вязкости  $B_v = 1$  (за исключением приведенного ниже теста 3а, где  $B_v = 1.7$ ). Для удобства дополним аббревиатуру схемы указанием на применяемый ограничитель потоков в (3) и (4), например CDP2-VL — схема (2)–(4) с ограничителем VAN LEER из (5). Для повышения порядка аппроксимации по времени применим двухшаговый TVD-метод Рунге–Кутты [14]:

$$\mathbf{q}^{(2)} = \mathbf{q}^k + \tau L(\mathbf{q}^k), \quad \mathbf{q}^{k+1} = 0.5(\mathbf{q}^k + \mathbf{q}^{(2)}) + 0.5\tau L(\mathbf{q}^{(2)}).$$

Таким образом, описанный алгоритм имеет на гладких решениях второй порядок аппроксимации по пространству и времени  $O(\tau^2 + h^2)$ .

Шаг по времени определяется из условия Куранта–Фридрихса–Леви

$$\tau^k = \frac{\text{CFL} \cdot h}{\max_{\forall n} (|v_n^k| + a_n^k)} \quad \text{при} \quad \text{CFL} \leq 1,$$

где CFL — число Куранта и  $a_n^k$  — скорость звука в точке  $(x_n, t^k)$ .

**4. Численные эксперименты.** Тестовые задачи для уравнений (1) решаются численно модифицированным методом крупных частиц (CDP2) в сравнении с другими схемами высокой разрешающей способности. Исходные данные и результаты решения представляются в безразмерном виде. Показатель адиабаты для всех вариантов задач принят  $\gamma = 7/5$ .

Область определения всех задач задана на интервале  $x \in (x_1, x_2)$  с начальным разрывом в точке  $x_0 \in (x_1, x_2)$  и на отрезке времени  $t \in [0, t_f]$ . Для удобства сравнения интервалы по пространственной координате  $x$  соответствуют цитируемым работам. Для тестов Sod 1 и Lax выбран интервал  $x \in (-5, 5)$ , для остальных задач  $x \in (0, 1)$ . Начальные условия задач сведены в таблицу, в которой газодинамические величины в безразмерном виде помечены индексом  $L$  — слева от разрыва, а индексом  $R$  — справа. Граничные условия совпадают с начальными. Число Куранта задавалось постоянным CFL = 0.4–0.5, за исключением задачи Sod 2. Расчет этой задачи начинался с возрастающим шагом по времени CFL = 0.1, 0.2, 0.3 и далее CFL = 0.4 = const.

Начальные условия тестовых задач

Тест	$\rho_{1L}$	$v_{1L}$	$p_L$	$\rho_{1R}$	$v_{1R}$	$p_R$	$x_0$	$t_f$
Sod 1	1	0	1	0.125	0	0.1	0	2
Sod 2	1	0	$10^5$	0.01	0	$10^3$	0.4	$5.5 \cdot 10^{-4}$
Lax	0.445	0.698	3.528	0.5	0	0.571	0	1.3
peak	0.1261192	8.9047029	782.92899	6.591493	2.2654207	3.1544874	0.5	0.0039
3а	1	-19.59745	1000	1	-19.59745	0.01	0.8	0.012
4	5.99924	19.5975	460.894	5.99242	-6.19633	46.095	0.4	0.035

Приведенные тестовые задачи Римана (распада разрыва) позволяют проверить работоспособность численного метода в широком диапазоне параметров движения газа. Результаты расчетов по схеме CDP2 сравниваются с автомодельными решениями и численными данными, полученными по алгоритмам из цитируемых источников.

В тестах Sod 1 и Lax реализуется распад разрыва с дозвуковым режимом течения газа, скачка уплотнения, волны разрежения и контактного разрыва между ними. Результаты решения указанных задач модифицированным методом крупных частиц (схема CDP2-VL) в виде распределения плотности показаны соответственно на рис. 1а и 2а. Для сравнения на этих рисунках справа (рис. 1б и 2б) представлены

результаты расчетов из [15] по схемам с гибридной взвешенной нелинейной интерполяцией четвертого (CCSSR-HW4) и шестого (CCSSR-HW6) порядков аппроксимации, а также популярной взвешенной существенно неосциллирующей схемой пятого порядка (WENO5). Видно, что результаты расчетов близки друг другу и хорошо согласуются с точным решением (сплошная кривая).

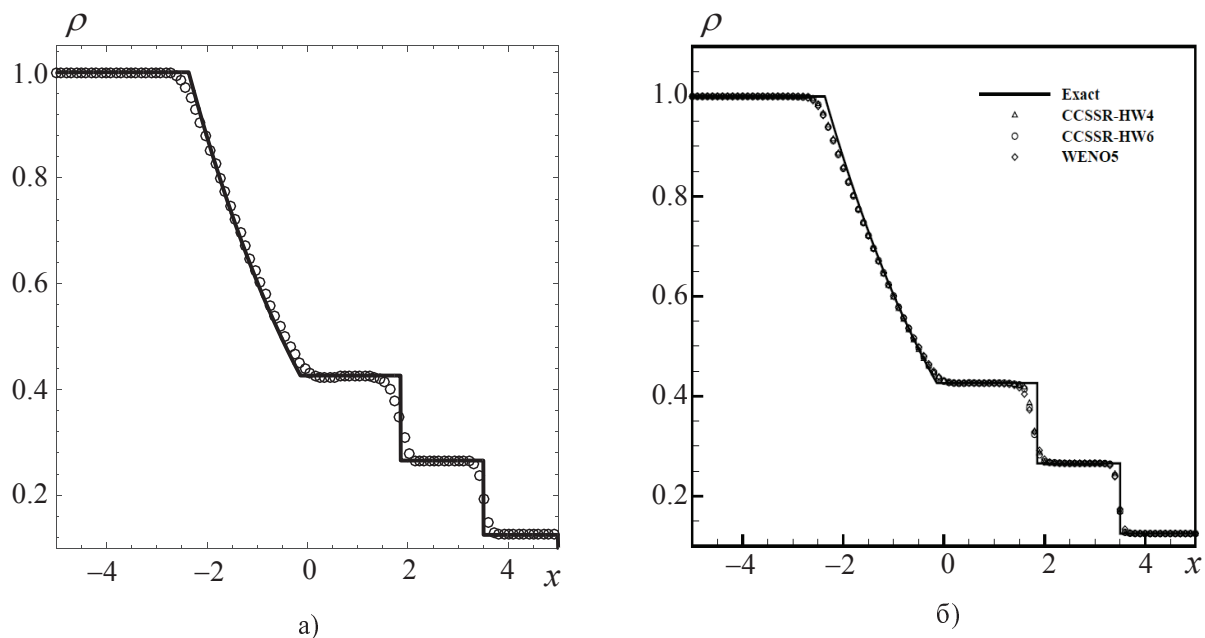


Рис. 1. Тестовая задача Sod 1, дискретизация 100 ячеек: а) схема CDP2-VL, б) схемы CCSSR-HW4, CCSSR-HW6, WENO5 из [15]. Сплошная линия — автомодельное решение

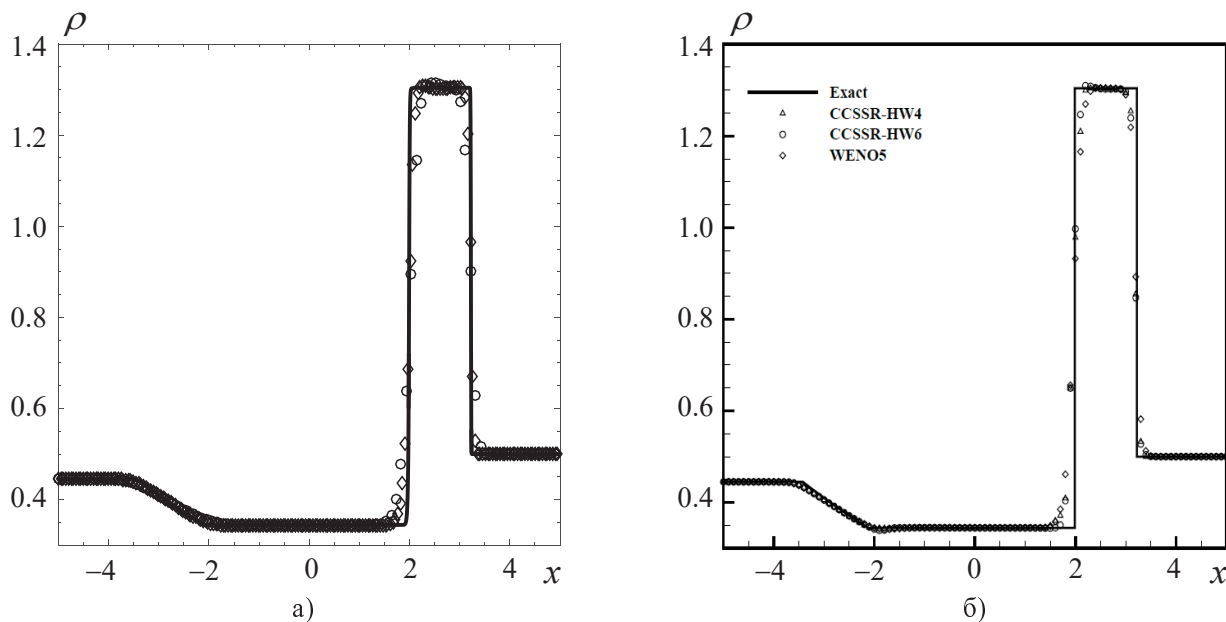


Рис. 2. Тестовая задача Lax: а) схема CDP2-VL (маркеры кружки — 100 ячеек; ромбы — 200 ячеек), б) схемы CCSSR-HW4, CCSSR-HW6, WENO5 из [15], дискретизация 100 точек. Сплошная линия — автомодельное решение

Возможности схемы CDP2 для случая большого (два порядка) начального перепада давления и плотности, сверхзвукового течения в части расчетной области, корректного расчета звуковой точки проверяется при решении тестовой задачи Sod 2. На рис. 3 показаны распределения плотности (а и в) и скорости

(б и г) соответственно для 100 и 200 ячеек. Данные расчетов сопоставляются с численными результатами, полученными по схемам MUSCL (Monotonic Upstream-Centered Scheme for Conservation Laws) с ограничителем MINMOD и КАБАРЕ для 100 ячеек из [16] (рис. 3д — распределение плотности, рис. 3е — скорости). Особенностью численных решений по приведенным схемам на грубой сетке (100 ячеек) является завышение скорости за скачком уплотнения относительно автомодельного распределения (см. рис. 3б и 3е), несколько большее для схемы CDP2. Вместе с тем, при увеличении разрешения сетки этот численный дефект исчезает (рис. 3г).

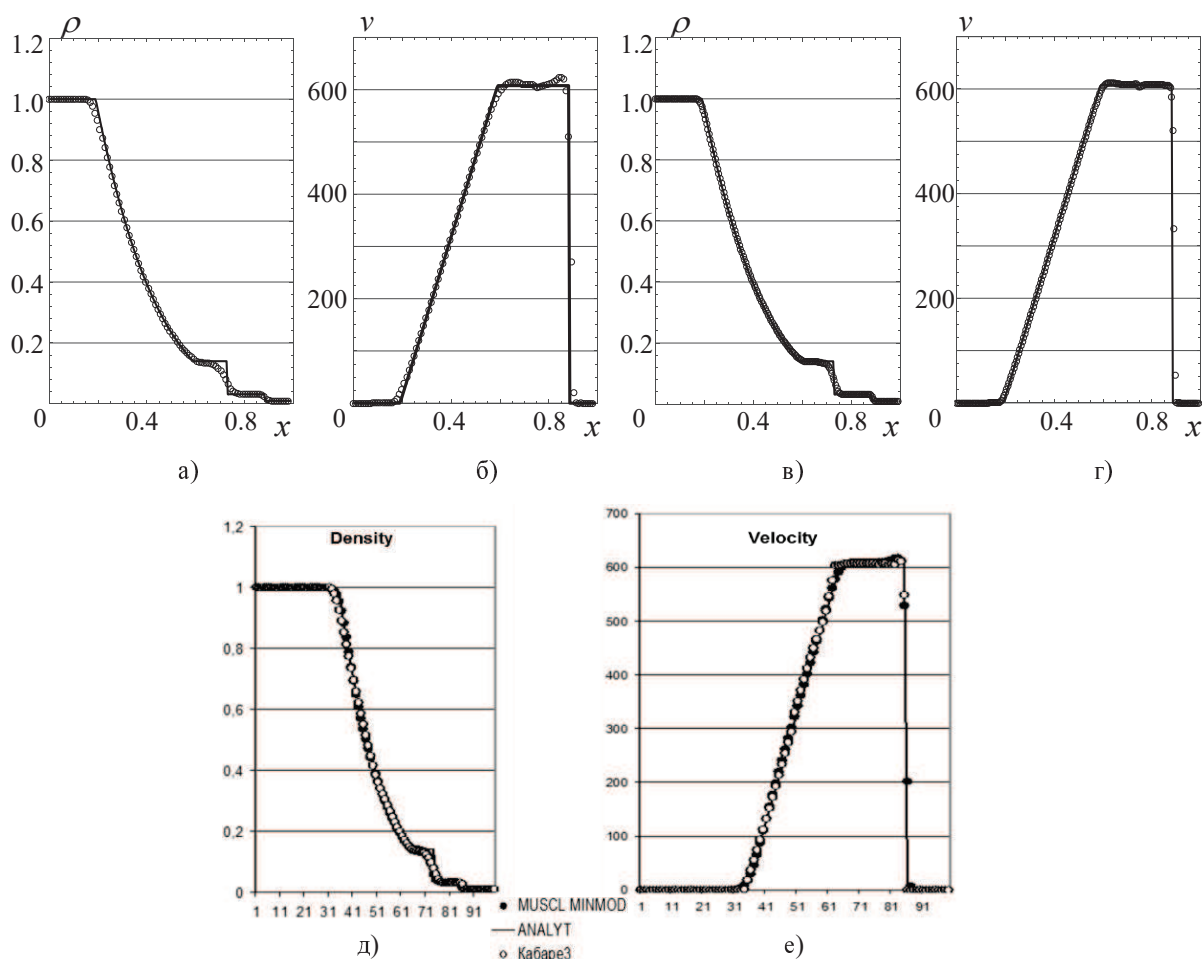


Рис. 3. Тестовая задача Sod 2. Схема CDP2-MM: распределения а) плотности, б) скорости для 100 ячеек; в) и г) то же для 200 ячеек. Схемы MUSCL с ограничителем MINMOD и КАБАРЕ из [16], дискретизация 100 точек для распределений: д) плотности, е) скорости. Сплошная линия — автомодельное решение

В задаче реак после распада сильного разрыва образуется интенсивный скачок уплотнения, волна разрежения и контактный разрыв между ними. В узкой области за ударной волной до контактной поверхности происходит сильное сжатие газа. Вычислительные трудности заключаются в обеспечении точности разрешения волны разрежения и зоны интенсивного сжатия газа. Показательным с этой точки зрения является профиль скорости, приведенный на рис. 4 (а — схема CDP2-MM; б — WENO5 из [17], компактная схема бегущего счета из [5] и квазигазодинамический алгоритм из [18]).

Цитируемые численные результаты дают всплеск скорости (энтропийный след) в окрестности  $x = 0.2$ , особенно существенный для схемы WENO5. Для модифицированного метода крупных частиц характерны небольшие низкочастотные колебания распределения скорости в области постоянного течения, примыкающего к волне разрежения. Указанная особенность в численном решении в различной степени проявляется также и для ряда других схем, например JT (centered scheme with limiter by Jiang and Tadmor), WAFT (weighted average flux by Toro), PPM (piecewise parabolic method) [19]. Сходимость численных результатов к автомодельному решению по схеме CDP2-MM демонстрируется расчетом на более мелкой сетке (6400

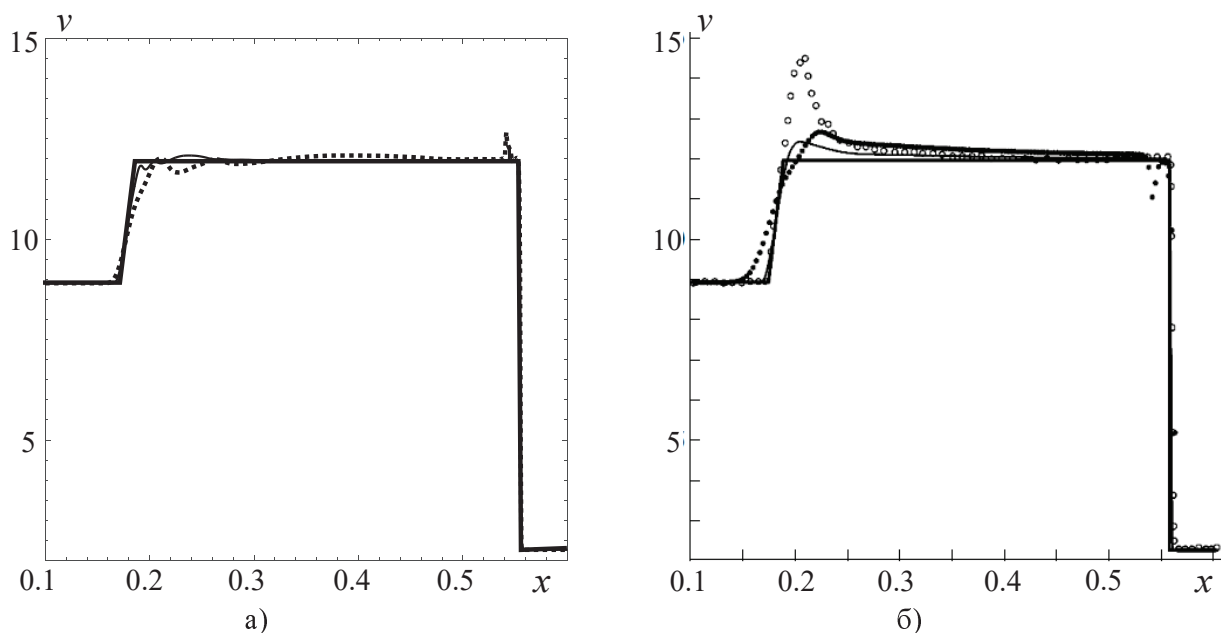


Рис. 4. Тестовая задача реак. Распределение скорости: а) схема CDP2-ММ — пунктир (1600 ячеек), тонкая сплошная кривая (6400 ячеек); б) кружки — WENO5 из [17], точки — квазигазодинамический алгоритм из [18], тонкая сплошная кривая — компактная схема бегущего счета из [5] на сетке 1600 узлов. Жирная сплошная линия — автомодельное решение

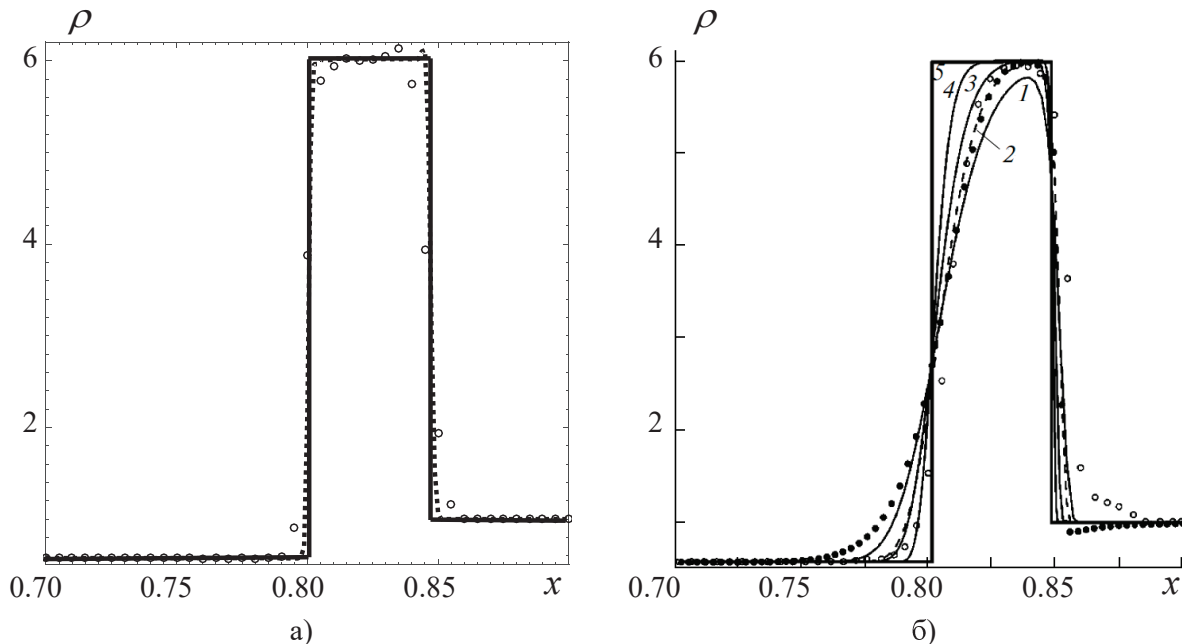


Рис. 5. Тестовая задача За. Распределение плотности: а) схема CDP2-ММ — кружки, пунктирная кривая для 200 и 800 ячеек соответственно; б) кружки — WENO5 из [17] (200 точек), точки — квазигазодинамический алгоритм из [18] (312 ячеек), тонкие сплошные кривые 1, 2, 3 и 4 — компактная схема бегущего счета из [5] на сетках 200, 312, 400 и 800 точек соответственно. Жирная сплошная линия — автомодельное решение

ячеек) на рис. 4а (тонкая сплошная линия графически совпадает с автомодельным распределением, за исключением малых отклонений в окрестности  $x = 0.2$  и  $0.545$ ).

Задача 3а является вариантом теста 3 (Toro problem). Особенность этой задачи заключается в огромном перепаде давления (пять порядков) и в образовании стационарного контактного разрыва в точке  $x = 0.8$ . Из рис. 5 видно, что модифицированный метод крупных частиц CDP2-ММ допускает небольшую немонотонность на фронте ударной волны, вместе с тем превосходит по разрешающей способности все цитируемые схемы.

Течение с двумя расходящимися ударными волнами и контактным разрывом между ними определяется начальными условиями тестовой задачи 4. Схема CDP2-VA сопоставима по разрешающей способности в данном тесте с WENO5 из [17] и превосходит компактную схему бегущего счета из [5], что видно, например, из сравнения численных решений на одинаковых сетках с дискретизацией 200 ячеек (см. рис. 6: а — пунктирная кривая и б — тонкая сплошная линия 1).

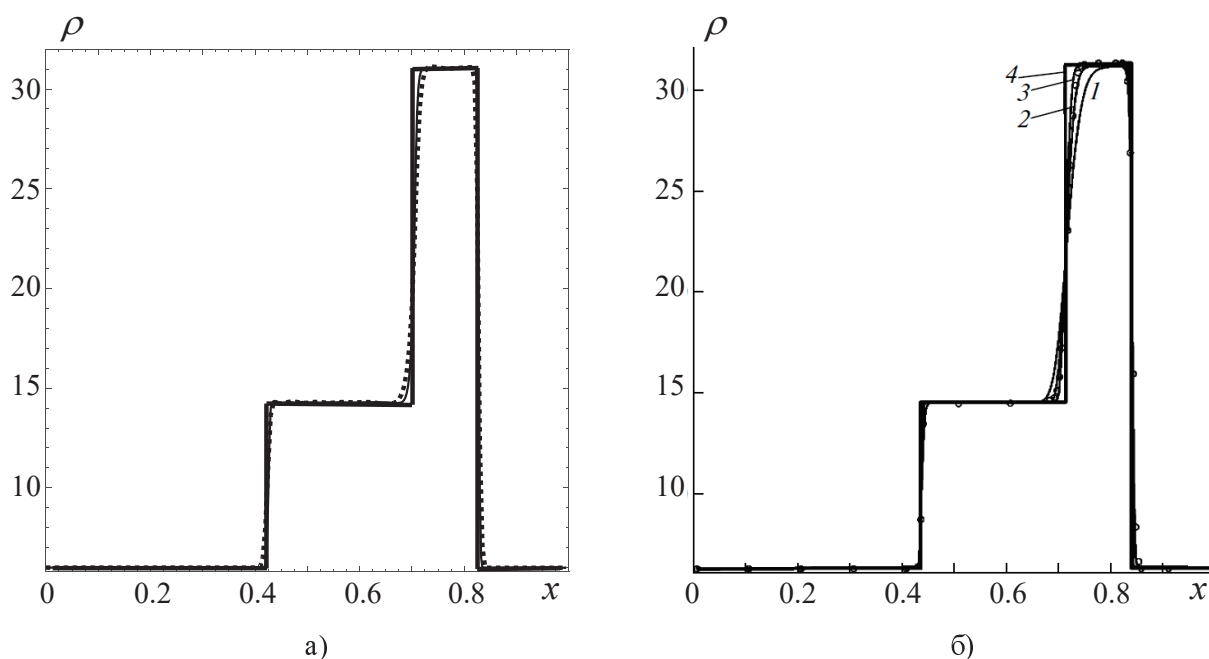


Рис. 6. Тестовая задача 4. Распределение плотности: а) схема CDP2-VA — пунктирная кривая, тонкая сплошная линия для 200 и 400 ячеек соответственно; б) кружки — WENO5 из [17] (200 точек), тонкие сплошные кривые 1, 2, 3 — компактная схема бегущего счета из [5] на сетках 200, 400 и 800 точек соответственно. Жирная сплошная линия — автомодельное решение

**5. Заключение.** Модифицированный метод крупных частиц обладает следующими свойствами. Схема имеет второй порядок аппроксимации по пространству и времени на гладких решениях. Использование искусственной вязкости с ограничителем не понижает порядок аппроксимации. Алгоритм не опирается на свойства гиперболичности исходных систем уравнений, что является актуальным для случаев, когда физически обоснованные постановки задач приводят к системам дифференциальных уравнений в частных производных составного (негиперболического) типа. Метод является консервативным, однородным, обладает алгоритмической простотой и экономичностью, возможностью настройки диссипативных свойств. Алгоритм без затруднений может быть обобщен на многомерные задачи.

Работоспособность представленного метода проверена на ряде одномерных тестовых задач, некоторые из которых обладают существенной вычислительной сложностью и в определенном смысле являются вызовом для любой разностной схемы. Расчеты продемонстрировали возможности модифицированного метода крупных частиц в сравнении с современными схемами высокой разрешающей способности. По совокупности свойств можно сделать вывод об эффективности и конкурентоспособности рассмотренной модификации метода крупных частиц.

#### СПИСОК ЛИТЕРАТУРЫ

1. Toro E.F. Riemann solvers and numerical methods for fluid dynamics: a practical introduction. Berlin: Springer,

- 2009.
2. *Harten A.* High resolution schemes for hyperbolic conservation laws // *Journal of Computational Physics*. 1983. **49**, N 3. 357–393.
  3. *Jiang G.-S., Shu C.-W.* Efficient implementation of weighted ENO schemes // *Journal of Computational Physics*. 1996. **126**, N 1. 202–228.
  4. *Cockburn B., Shu C.-W.* Runge–Kutta discontinuous Galerkin methods for convection-dominated problems // *Journal of Scientific Computing*. 2001. **16**, N 3. 173–261.
  5. *Михайловская М.Н., Рогов Б.В.* Монотонные компактные схемы бегущего счета для систем уравнений гиперболического типа // *Журнал вычислительной математики и математической физики*. 2012. **52**, № 4. 672–695.
  6. *Головизнин В.М.* Балансно-характеристический метод численного решения одномерных уравнений газовой динамики в эйлеровых переменных // *Математическое моделирование*. 2006. **18**, № 11. 14–30.
  7. *Kurganov A., Liu Y.* New adaptive artificial viscosity method for hyperbolic systems of conservation laws // *Journal of Computational Physics*. 2012. **231**, N 24. 8114–8132.
  8. *LeVeque R.J.* Finite volume methods for hyperbolic problems. Cambridge: Cambridge Univ. Press, 2002.
  9. *Hirsch C.* Numerical computation of internal and external flows. Vol. 1. Fundamentals of computational fluid dynamics. Oxford: Butterworth-Heinemann, 2007.
  10. *Садин Д.В.* TVD-схема для жестких задач волновой динамики гетерогенных сред негиперболического неконсервативного типа // *Журнал вычислительной математики и математической физики*. 2016. **56**, № 12. 2098–2109.
  11. *Садин Д.В.* Схемы с настраиваемыми диссипативными свойствами для численного моделирования течений газа и газовзвесей // *Математическое моделирование*. 2017. **29**, № 12. 89–104.
  12. *Christensen R.B.* Godunov methods on a staggered mesh — an improved artificial viscosity. Preprint UCRL-JC-105269. Livermore: Lawrence Livermore Nat. Lab., 1990.
  13. *Садин Д.В.* Применение схемы с настраиваемыми диссипативными свойствами к расчету течений газа с развитием неустойчивости на контактной границе // *Научно-технический вестник информационных технологий, механики и оптики*. 2018. **18**, № 1. 153–157.
  14. *Gottlieb S., Shu C.-W.* Total variation diminishing Runge–Kutta schemes // *Mathematics of Computation*. 1998. **67**, N 221. 73–85.
  15. *Liu X., Zhang S., Zhang H., Shu C.-W.* A new class of central compact schemes with spectral-like resolution II: Hybrid weighted nonlinear schemes // *Journal of Computational Physics*. 2015. **284**. 133–154.
  16. *Головизнин В.М., Карабасов С.А.* Схемы КАБАРЕ для одномерных уравнений газодинамики в эйлеровых переменных. Препринт ИВРАЕ-2001-15. М.: Институт проблем безопасного развития атомной энергетики РАН, 2001.
  17. *Liska R., Wendroff B.* Comparison of several difference schemes on 1D and 2D test problems for Euler equations. Techn. Rept. LA-UR-01-6225. Los Alamos: Los Alamos Nat. Lab., 2001.
  18. *Елизарова Т.Г., Шильников Е.В.* Возможности квазигазодинамического алгоритма для численного моделирования течений невязкого газа // *Журнал вычислительной математики и математической физики*. 2009. **49**, № 3. 549–566.
  19. *Liska R., Wendroff B.* Comparison of several difference schemes on 1D and 2D test problems for the Euler equations // *SIAM Journal on Scientific Computing*. 2003. **25**, N 3. 995–1017.

Поступила в редакцию  
10.04.2019

---

## Comparison of a Modified Large-Particle Method with Some High Resolution Schemes. One-Dimensional Test Problems

D. V. Sadin<sup>1</sup> and V. A. Davidchuk<sup>2</sup>

<sup>1</sup> *Mozhaisky Military Space Academy, ulitsa Zhdanovskaya 13, Saint Petersburg, 197198, Russia;  
Dr. Sci., Professor, e-mail: sadin@yandex.ru*

<sup>2</sup> *Mozhaisky Military Space Academy, ulitsa Zhdanovskaya 13, Saint Petersburg, 197198, Russia;  
Postgraduate, e-mail: david\_lvii@mail.ru*

Received April 10, 2019

**Abstract:** The paper presents a comparative analysis of the computational properties of a modified large-particle method on one-dimensional gas dynamics test problems in a wide range of flow parameters. The numerical results are compared with self-similar solutions and data obtained by high-resolution schemes from



the second to the sixth order of approximation. It is shown that the presented scheme is numerically efficient and competitive.

**Keywords:** large-particle method, high resolution, test problems, computational properties.

### References

1. E. F. Toro, *Riemann Solvers and Numerical Methods for Fluid Dynamics: A Practical Introduction* (Springer, Berlin, 2009).
2. A. Harten, "High Resolution Schemes for Hyperbolic Conservation Laws," *J. Comput. Phys.* **49** (3), 357–393 (1983).
3. G.-S. Jiang and C.-W. Shu, "Efficient Implementation of Weighted ENO Schemes," *J. Comput. Phys.* **126** (1), 202–228 (1996).
4. B. Cockburn and C.-W. Shu, "Runge–Kutta Discontinuous Galerkin Methods for Convection-Dominated Problems," *J. Sci. Comput.* **16** (3), 173–261 (2001).
5. M. N. Mikhailovskaya and B. V. Rogov, "Monotone Compact Running Schemes for Systems of Hyperbolic Equations," *Zh. Vychisl. Mat. Mat. Fiz.* **52** (4), 672–695 (2012) [*Comput. Math. Math. Phys.* **52** (4), 578–600 (2012)].
6. V. M. Goloviznin, "Balanced Characteristic Method for 1D Systems of Hyperbolic Conservation Laws in Eulerian Representation," *Mat. Model.* **18** (11), 14–30 (2006).
7. A. Kurganov and Y. Liu, "New Adaptive Artificial Viscosity Method for Hyperbolic Systems of Conservation Laws," *J. Comput. Phys.* **231** (24), 8114–8132 (2012).
8. R. J. LeVeque, *Finite Volume Methods for Hyperbolic Problems* (Cambridge Univ. Press, Cambridge, 2002).
9. C. Hirsch, *Numerical Computation of Internal and External Flows. Vol. 1: Fundamentals of Computational Fluid Dynamics* (Butterworth-Heinemann, Oxford, 2007).
10. D. V. Sadin, "TVD Scheme for Stiff Problems of Wave Dynamics of Heterogeneous Media of Nonhyperbolic Nonconservative Type," *Zh. Vychisl. Mat. Mat. Fiz.* **56** (12), 2098–2109 (2016) [*Comput. Math. Math. Phys.* **56** (12), 2068–2078 (2016)].
11. D. V. Sadin, "Schemes with Customizable Dissipative Properties as Applied to Gas-Suspensions Flow Simulation," *Mat. Model.* **29** (12), 89–104 (2017).
12. R. B. Christensen, *Godunov Methods on a Staggered Mesh – An Improved Artificial Viscosity*, Preprint UCRL-JC-105269 (Lawrence Livermore Nat. Lab., Livermore, 1990).
13. D. V. Sadin, "Application of Scheme with Customizable Dissipative Properties for Gas Flow Calculation with Interface Instability Evolution," *Nauch.-Tekhn. Vestn. Inform. Tekhnol. Mekhan. Optik.* **18** (1), 153–157 (2018).
14. S. Gottlieb and C.-W. Shu, "Total Variation Diminishing Runge–Kutta Schemes," *Math. Comput.* **67** (221), 73–85 (1998).
15. X. Liu, S. Zhang, H. Zhang, and C.-W. Shu, "A New Class of Central Compact Schemes with Spectral-Like Resolution II: Hybrid Weighted Nonlinear Schemes," *J. Comput. Phys.* **284**, 133–154 (2015).
16. V. M. Goloviznin and S. A. Karabasov, *CABARET Schemes for One-Dimensional Gas Dynamics Equations in Eulerian Variables*, Preprint IBRAE-2001-15 (Nuclear Safety Inst., Moscow, 2001).
17. R. Liska and B. Wendroff, *Comparison of Several Difference Schemes on 1D and 2D Test Problems for Euler Equations*, Technical Report LA-UR-01-6225 (Los Alamos Nat. Lab., Los Alamos, 2001).
18. T. G. Elizarova and E. V. Shil'nikov, "Capabilities of a Quasi-Gasdynamics Algorithm as Applied to Inviscid Gas Flow Simulation," *Zh. Vychisl. Mat. Mat. Fiz.* **49** (3), 549–566 (2009) [*Comput. Math. Math. Phys.* **49** (3), 532–548 (2009)].
19. R. Liska and B. Wendroff, "Comparison of Several Difference Schemes on 1D and 2D Test Problems for the Euler Equations," *SIAM J. Sci. Comput.* **25** (3), 995–1017 (2003).